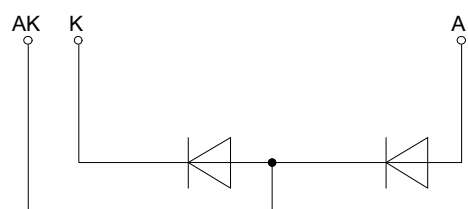
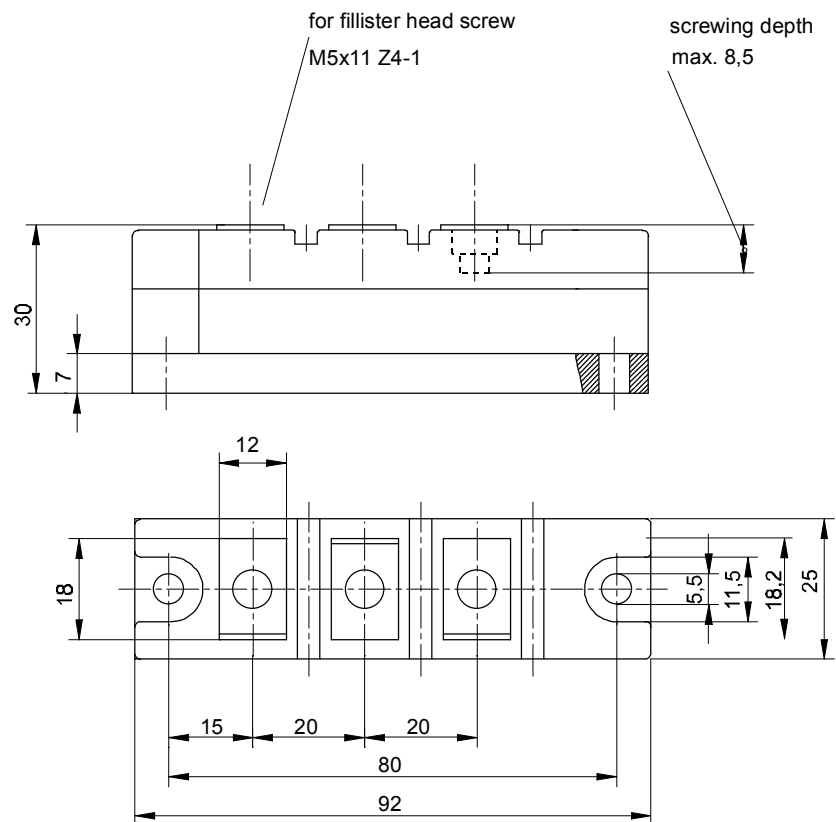


European Power-
Semiconductor and
Electronics Company
GmbH + Co. KG

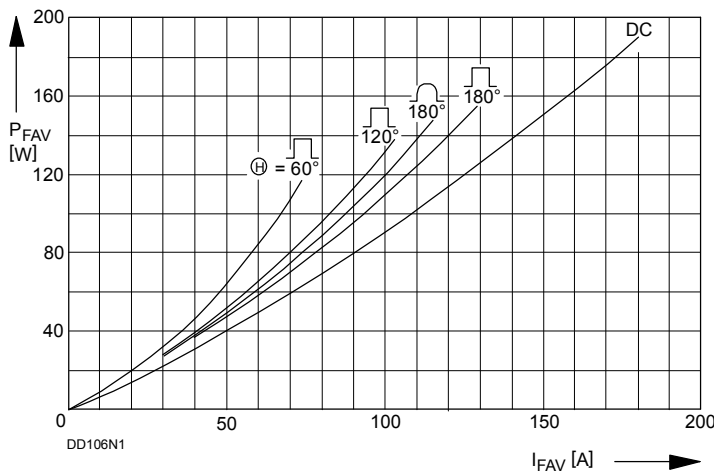
Marketing Information DD 106 N



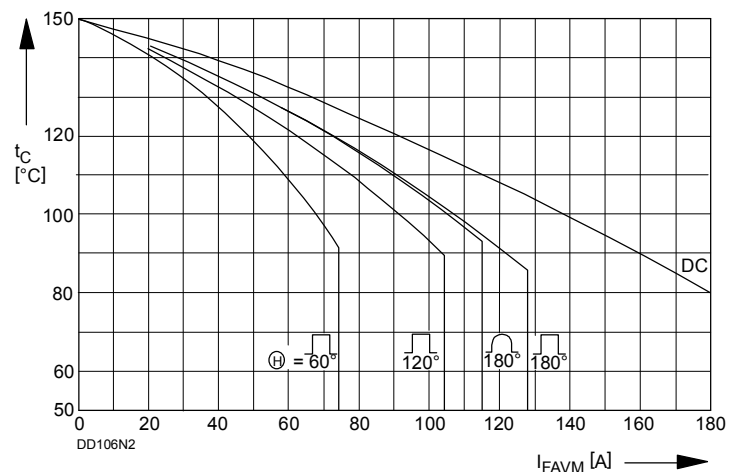
DD 106 N

Elektrische Eigenschaften	Electrical properties				
Höchstzulässige Werte	Maximum rated values				
Periodische Spitzensperrspannung	repetitive peak reverse voltage	$t_{vj} = -40^\circ\text{C} \dots t_{vj \max}$	V_{RRM}	600 1400 2000	800 1600 2200 1200 V
Stoßspitzensperrspannung	non-repetitive peak reverse voltage	$t_{vj} = +25^\circ\text{C} \dots t_{vj \max}$	V_{RSM}	700 1500 1700 2100	900 1300 V 1900 2300
Durchlaßstrom-Grenzeffektivwert	RMS forward current		I_{FRMSM}		180 A
Dauergrenzstrom	mean forward current	$t_c = 100^\circ\text{C}$ $t_c = 93^\circ\text{C}$	I_{FAVM}		106 A 115 A
Stoßstrom-Grenzwert	surge forward current	$t_{vj} = 25^\circ\text{C}, t_p = 10 \text{ ms}$ $t_{vj} = t_{vj \max}, t_p = 10 \text{ ms}$	I_{FSM}		3 kA 26,0 kA
Grenzlastintegral	$I^2 t$ -value	$t_{vj} = 25^\circ\text{C}, t_p = 10 \text{ ms}$ $t_{vj} = t_{vj \max}, t_p = 10 \text{ ms}$	$I^2 t$		$45 \cdot 10^3 \text{ A}^2 \text{s}$ $338 \cdot 103 \text{ A}^2 \text{s}$
Charakteristische Werte	Characteristic values				
Durchlaßspannung	forward voltage	$t_{vj} = t_{vj \max}, i_F = 100 \text{ A}$	V_F	max.	1,35 V
Schleusenspannung	threshold voltage	$t_{vj} = t_{vj \max}$	$V_{T(TO)}$		0,7 V
Ersatzwiderstand	forward slope resistance	$t_{vj} = t_{vj \max}$	r_T		2 mΩ
Sperrstrom	reverse current	$t_{vj} = t_{vj \max}, V_R = V_{RRM}$	i_R	max.	20 mA
Isolations-Prüfspannung	insulation test voltage	RMS f = 50 Hz t = 1 min	V_{ISOL}		3 kV
Thermische Eigenschaften	Thermal properties				
Innerer Wärmewiderstand	thermal resistance junction to case	pro Modul/per module, $\Theta = 180^\circ \text{ sin}$ pro Zweig/per arm, $\Theta = 180^\circ \text{ sin}$ pro Modul/per module, DC pro Zweig/per arm, DC	R_{thJC}	max.	0,195 °C/W 0,39 °C/W 0,185 °C/W 0,37 °C/W
Übergangs-Wärmewiderstand	thermal resistance case to heatsink	pro Modul/per module pro Zweig/per arm	R_{thCK}	max.	0,04 °C/W 0,08 °C/W
Höchstzul. Sperrsichttemperatur	max. junction temperature	$t_{vj \max}$			150 °C
Betriebstemperatur	operating temperature	$t_{c op}$			-40...+150 °C
Lagertemperatur	storage temperature	t_{stg}			-40...+150 °C ²⁾
Mechanische Eigenschaften	Mechanical properties				1
Gehäuse siehe Seite	case see page				
Si-Element mit Druckkontakt	Si-pellet with pressure contact				
Innere Isolation	internal insulation				AIN
Anzugsdrehmoment für mechanische Befestigung	mounting torque	Toleranz/tolerance +/- 15%	M1		4 Nm
Anzugsdrehmoment für elektrische Anschlüsse	terminal connection torque	Toleranz/tolerance +5%/-10%	M2		4 Nm
Gewicht	weight		G	typ.	250 g
Kriechstrecke	creepage distance				15 mm
Schwingfestigkeit	vibration resistance	f = 50 Hz			50 m/s ²

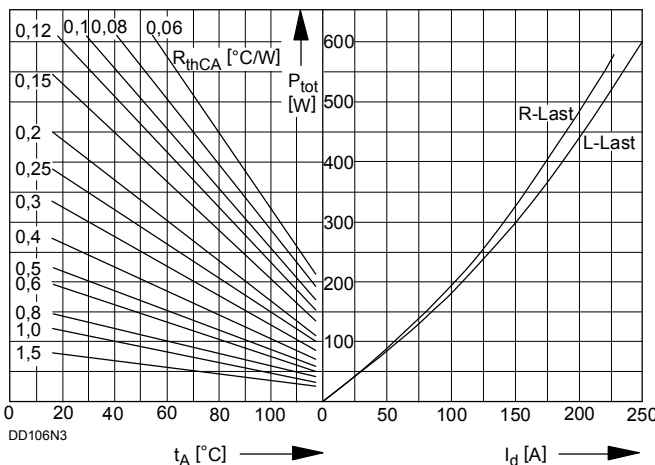
²⁾ Gemäß DIN IEC 749 mit 747-1 gilt eine Zeitbegrenzung von 672 h. Für die im Betrieb auftretende Gehäusetemperatur gilt keine zeitliche Begrenzung. / According to DIN IEC 749 with 747-1 a time-limit of 672 h is defined. There is no time-limit set for case temperature during operation.



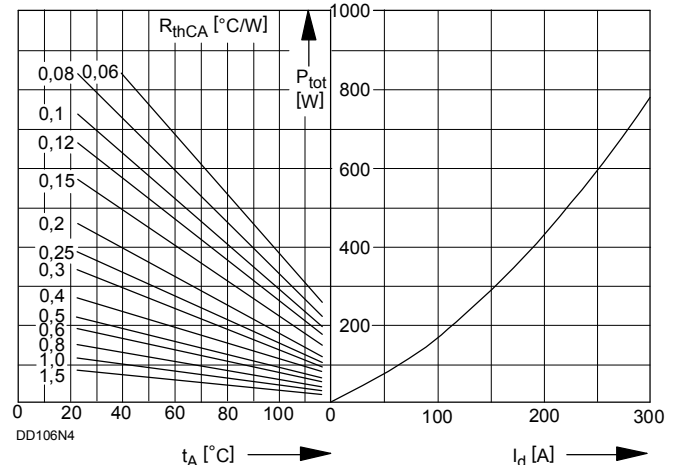
Bild/Fig. 1
Durchlaßverlustleistung P_{FAV} eines Zweiges
Forward power loss P_{FAV} per arm



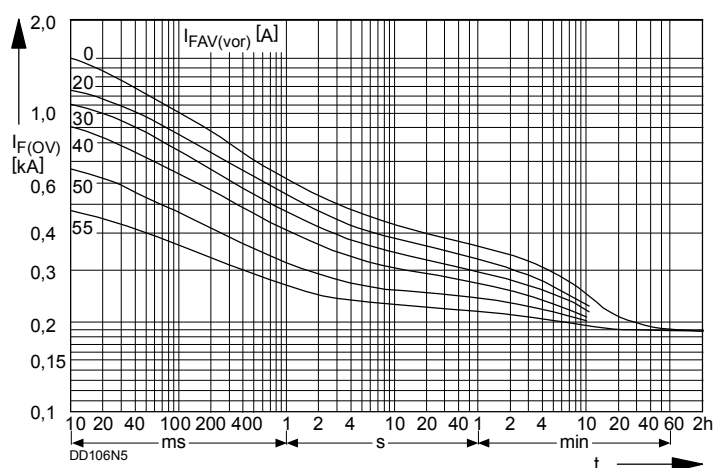
Bild/Fig. 2
Höchstzulässige Gehäusetemperatur t_C in Abhängigkeit vom Zweigstrom
Maximum allowable case temperature t_C versus current per arm



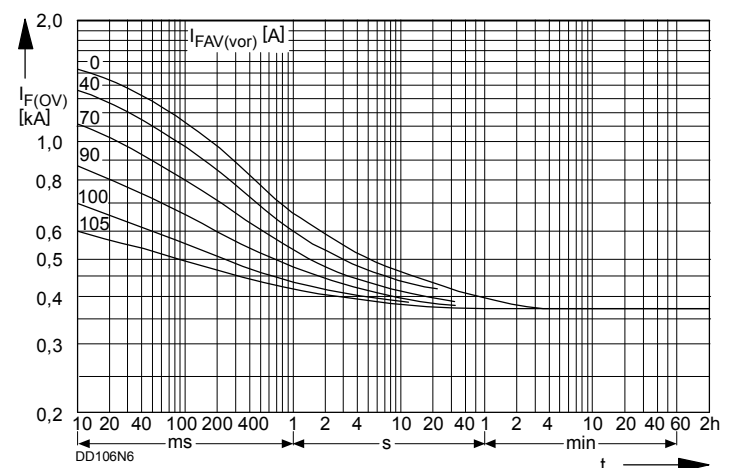
Bild/Fig. 3
B2 - Zweipuls-Brückenschaltung
Höchstzulässiger Ausgangsstrom I_d in Abhängigkeit von der Umgebungs-
temperatur t_A .
B2 - Two-pulse bridge circuit
Maximum allowable output current I_d versus ambient temperature t_A .
Parameter: Wärmewiderstand zwischen Powerblock und Umgebung/
thermal resistance case to ambient R_{thCA}



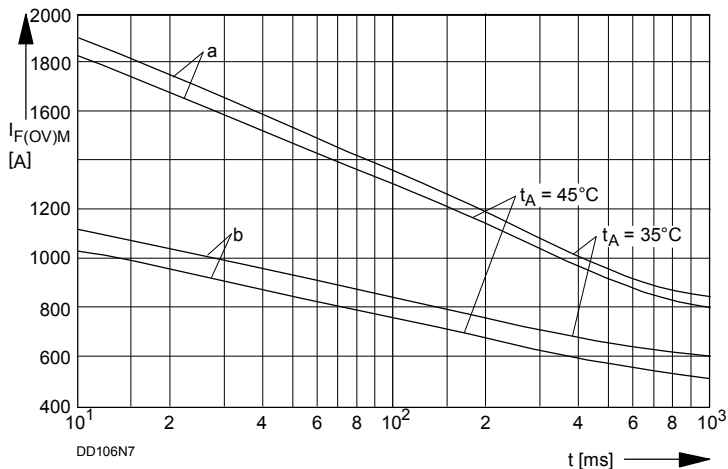
Bild/Fig. 4
B6 - Sechspuls-Brückenschaltung
Höchstzulässiger Ausgangsstrom I_d in Abhängigkeit von der Umgebungs-
temperatur t_A .
B6 - Six-pulse bridge circuit
Maximum allowable output current I_d versus ambient temperature t_A .
Parameter: Wärmewiderstand zwischen Powerblock und Umgebung/
thermal resistance case to ambient R_{thCA}



Bild/Fig. 5
B2 - Zweipuls-Brückenschaltung/Two-pulse bridge circuit
Überstrom je Zweig $I_F(OV)$ bei Luftselbstkühlung, $t_A = 45^\circ\text{C}$, Kühlkörper
KP 0,33 S.
Overload on-state current per arm $I_F(OV)$ at natural cooling, $t_A = 45^\circ\text{C}$,
heat sink type KP 0.33 S.
Parameter: Vorlaststrom je Zweig/pre-load current per arm $I_{FAV}(\text{vor})$



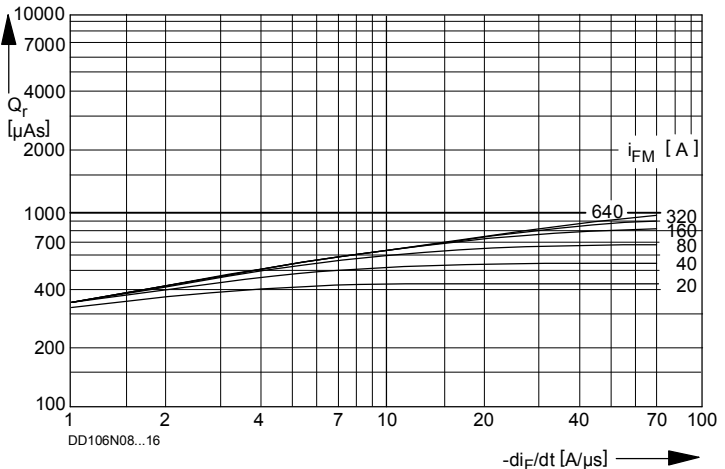
Bild/Fig. 6
B2 - Zweipuls-Brückenschaltung/Two-pulse bridge circuit
Überstrom je Zweig $I_F(OV)$ bei verstärkter Luftselbstkühlung, $t_A = 45^\circ\text{C}$,
Kühlkörper KP 0,33 S.
Overload on-state current per arm $I_F(OV)$ at forced natural cooling, $t_A = 45^\circ\text{C}$,
heat sink type KP 0.33 S.
Parameter: Vorlaststrom je Zweig/pre-load current per arm $I_{FAV}(\text{vor})$



Bild/Fig. 7

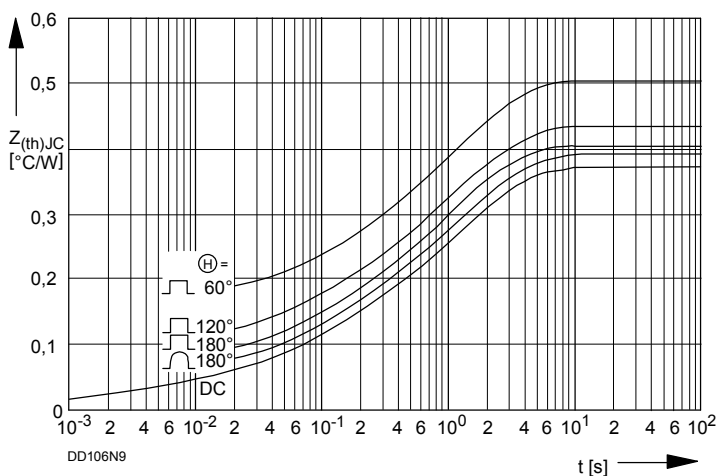
Grenzstrom je Zweig $I_{F(OV)M}$ bei Luftselbstkühlung, $t_A=45^\circ\text{C}$ und verstärkter Luftkühlung, $t_A=35^\circ\text{C}$, Kühlkörper KP 0,33 S, $v_{RM} = 0,8 V_{RRM}$.
Limiting overload on-state current per arm $I_{F(OV)M}$ at natural ($t_A=45^\circ\text{C}$) and forced ($t_A=35^\circ\text{C}$) cooling, heatsink type KP 0.33 S, $v_{RM} = 0.8 V_{RRM}$.
a - Belastung nach Leerlauf/current surge under no-load conditions
b - Belastung nach Betrieb mit Dauergrenzstrom I_{FAQM}

Current surge occurs during operation at limiting mean on-state current rating I_{FAQM}



Bild/Fig. 8

Sperrverzögerungsladung / Recovered charge $Q_r = f(-di/dt)$
 $t_{vj} = t_{vj \max}, v_R \leq 0,5 V_{RRM}, v_{RM} = 0,8 V_{RRM}$
Parameter: Durchlaßstrom / Forward current i_{FM}



Bild/Fig. 9

Transienter innerer Wärmewiderstand je Zweig $Z_{(th)JC}$.
Transient thermal impedance, junction to case, per arm $Z_{(th)JC}$.

Analytische Elemente des transienten Wärmewiderstandes Z_{thJC} pro Zweig für DC
Analytical elements of transient thermal impedance Z_{thJC} per arm for DC

Pos. n	1	2	3	4	5	6	7
R_{thn} [$^\circ\text{C}/\text{W}$]	0,0233	0,0433	0,134	0,17			
τ_n [s]	0,00137	0,0175	0,325	2,11			

Analytische Funktion / Analytical function:

$$Z_{thJC} = \sum_{n=1}^{n_{\max}} R_{thn} (1 - e^{-\frac{t}{\tau_n}})$$